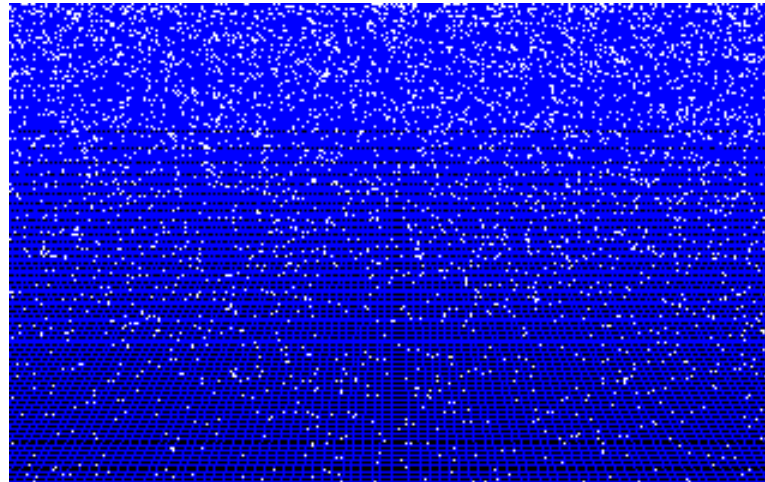


Deeltjes en velden

HOVO *Cursus*



Jo van den Brand

31 oktober 2013

Overzicht

- **Docent informatie**
 - Jo van den Brand & Gideon Koekoek
 - Email: jo@nikhef.nl en gkoekoek@gmail.com
 - 0620 539 484 / 020 592 2000
- **Rooster informatie**
 - Donderdag 10:00 – 13:00, HG 08A-05 (totaal 10 keer)
 - Collegevrije week: 24 oktober 2013
- **Boek en website**
 - David Griffiths, *Introduction to Elementary Particles*, Wiley and Sons, ISBN 978-3-527-40601-2 (2008)
 - Zie website URL: www.nikhef.nl/~jo
- **Beoordeling**
 - Huiswerkopgaven 20%, tentamen 80%



Inhoud

- **Inleiding**
 - Deeltjes
 - Interacties
- **Relativistische kinematica**
 - Speciale relativiteitstheorie
 - Viervectoren
 - Energie en impuls
- **Quantumfysica**
 - Formalisme
 - Spin van deeltjes
- **Structuur van hadronen**
- **Symmetrieën**
 - Behoudwetten, quarkmodel
 - Symmetriebreking
- **Veldentheorie**
 - Lagrange formalisme
 - Feynman regels
- **Quantumelektrodynamica**
 - Diracvergelijking
- **Quarks en hadronen**
 - Quantumchromodynamica
- **Elektrozwakke wisselwerking**
- **Higgs formalisme**



Symmetrieën

Resume quantummechanica

- **Systeem wordt beschreven door een golffunctie, Ψ**
- **Fysische observabele correspondeert met hermitische operator, O**
- **Verwachtingswaarden worden gegeven door eigenwaarden**
- **Tijdsafhankelijkheid wordt gegeven door de Schrödingervergelijking**

$$\langle O \rangle = \int \psi_a^* O \psi_a dV.$$

$$\int (O\psi)^* \phi dV = \int \psi^* O^\dagger \phi dV,$$

$$\begin{aligned} i\hbar \frac{\partial \psi}{\partial t} &= H\psi \\ -i\hbar \frac{\partial \psi^*}{\partial t} &= (H\psi)^* = \psi^* H \end{aligned}$$

$$\frac{\partial}{\partial t} \langle O \rangle = \frac{\partial}{\partial t} \int \psi^* O \psi dV$$

$$= \int \left(\frac{\partial \psi^*}{\partial t} O \psi + \psi^* O \frac{\partial \psi}{\partial t} \right) dV$$

$$= \frac{i}{\hbar} \int [H, O] \equiv HO - OH = 0$$

$\langle O \rangle$ bewegingsconstante, als $[H, O] = 0$

$$H\psi = E\psi \quad \text{en} \quad O\psi = \alpha\psi$$

Symmetrieën

Symmetrie transformatie U

- tijdsafhankelijk
- Unitair
- Commuteert met H

$$\psi'(\vec{r}, t) = U\psi(\vec{r}, t)$$

Invullen in SV

$$H = U^{-1}HU = U^\dagger HU$$

$$[H, U] = 0$$

Continue transformatie met generator G

$$U = e^{i\epsilon G} = 1 + i\epsilon G + \frac{1}{2!}(i\epsilon G)^2 + ..$$

Er geldt

$$U^\dagger U = e^{-i\epsilon G^\dagger} e^{i\epsilon G} = 1 \rightarrow G^\dagger = G$$

G hermitisch \Leftrightarrow observabele

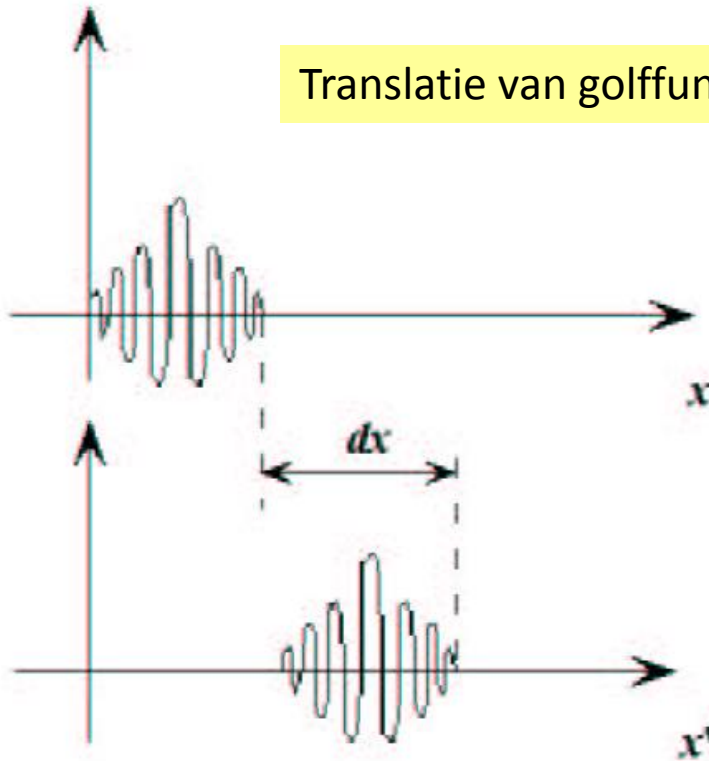
$$[H, U] = 0 \rightarrow H(1 + i\epsilon G) - (1 + i\epsilon G)H = 0$$

$$[H, G] = 0$$

Symmetrie \Leftrightarrow behoudswet

Behoud van impuls

Translatie van golffunctie van een deeltje



$$\begin{aligned}\psi'(x') &= \psi(x - \epsilon) = \psi(x) - \epsilon \frac{d\psi(x)}{dx} + \dots \\ &= (1 + i\epsilon \mathbf{G} + \dots)\psi(x)\end{aligned}$$

$$\mathbf{G} = i \frac{d}{dx} = -\frac{1}{\hbar} \mathbf{P}_x$$

impulsoperator

p_x is behouden

Algemeen translatieoperator

$$\mathbf{U}(\vec{a}) = \exp\left(-\frac{i}{\hbar} \vec{a} \cdot \vec{\mathbf{P}}\right)$$

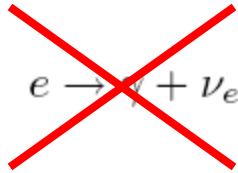
$$\vec{r}' = \mathbf{U} \vec{r} \mathbf{U}^{-1} = \vec{r} - \vec{a} \quad : \text{ruimtecoördinaten}$$

$$\vec{p}' = \mathbf{U} \vec{p} \mathbf{U}^{-1} = \vec{p} \quad : \text{impulsen}$$

$$\vec{s}' = \mathbf{U} \vec{s} \mathbf{U}^{-1} = \vec{s} \quad : \text{spins}$$

Behoud van lading

Verval van elektron:
 $\tau > 4.6 \times 10^{26}$ jaar



Lading is veelvoud
van e

$$q = Qe$$

$$a + b + \dots + i \rightarrow c + d + \dots + f$$

Additief quantumgetal

$$\sum Q_i = \sum Q_f$$

Ladingsbehoud \Leftrightarrow corresponderende symmetrie?

Golffunctie van deeltje met lading q

$$i\hbar \frac{\partial \psi_q}{\partial t} = \mathbf{H} \psi_q$$

Ladingsoperator \mathbf{Q}

$$[\mathbf{H}, \mathbf{Q}] = 0 \quad \longrightarrow \quad \mathbf{Q} \psi = q \psi$$

Bijbehorende symmetrie

$$\psi'_q = e^{i\varepsilon \mathbf{Q}} \psi_q$$

$$\longrightarrow \quad i\hbar \frac{\partial \psi'_q}{\partial t} = \mathbf{H} \psi'_q$$

Ijktransformaties en
ijkinvariantie

Globaal want $\varepsilon = \text{constant}$

Lokale ijsymmetrieën

Lading is in *elk* ruimtetijd punt behouden → lokale symmetrie

Unitaire groep U(1)

$$\psi'_q = e^{i\epsilon(\vec{r},t)Q} \psi_q = e^{i\epsilon(x)Q} \psi_q$$

Schrödingervergelijking niet invariant, want

$$i\hbar \frac{\partial \psi'_q}{\partial t} = \mathbf{H} \psi'_q \quad \text{vrij deeltje}$$

$$\frac{\partial \psi'_q}{\partial t} = e^{i\epsilon(x)Q} \frac{\partial \psi_q}{\partial t} + \underbrace{e^{i\epsilon(x)Q} \frac{\partial \epsilon}{\partial t}} \psi_q \neq e^{i\epsilon(x)Q} \frac{\partial \psi_q}{\partial t}$$

Voer nieuw dynamische veld in en laat deeltje hiermee wisselwerken

$$\mathbf{B} = \nabla \times \mathbf{A} \quad \text{en} \quad \mathbf{E} = -\nabla\phi - \frac{\partial \mathbf{A}}{\partial t}$$

$$\mathbf{A}' = \mathbf{A} + \nabla\epsilon, \quad \text{en} \quad \phi' = \phi + \frac{\partial \epsilon}{\partial t}$$

$$i\hbar \frac{\partial}{\partial t} \rightarrow i\hbar \frac{\partial}{\partial t} - q\phi, \quad \text{en} \quad \frac{\hbar}{i} \nabla \rightarrow \frac{\hbar}{i} \nabla - q\mathbf{A} \quad \left(i\hbar \frac{\partial}{\partial t} - q\phi \right) \psi_q = \frac{1}{2m} \left(\frac{\hbar}{i} \nabla - q\mathbf{A} \right)^2 \psi_q$$

Minimale substitutie

$$\left(i\hbar \frac{\partial}{\partial t} - q\phi' \right) \psi'_q = e^{i\epsilon Q} \left(i\hbar \frac{\partial}{\partial t} - q\phi \right) \psi_q,$$

$$\frac{1}{2m} \left(\frac{\hbar}{i} \nabla - q\mathbf{A}' \right)^2 \psi'_q = e^{i\epsilon Q} \frac{1}{2m} \left(\frac{\hbar}{i} \nabla - q\mathbf{A} \right)^2 \psi_q$$

$$i\hbar \frac{\partial \psi_q}{\partial t} = \frac{1}{2m} \left(\frac{\hbar}{i} \nabla - q\mathbf{A} \right)^2 \psi_q + \underbrace{q\phi \psi_q}$$

Behoud van baryongetal

Proton is ook stabiel
 $\tau > 2.1 \times 10^{29}$ jaar

$$\begin{array}{ll} p \rightarrow e^+ \pi^0 & \tau > 5.5 \times 10^{32} \text{ jaar} \\ p \rightarrow \mu^+ \pi^0 & \tau > 2.7 \times 10^{32} \text{ jaar} \\ p \rightarrow e^+ \gamma & \tau > 4.6 \times 10^{32} \text{ jaar} \\ p \rightarrow e^+ \text{ wat dan ook} & \tau > 0.6 \times 10^{30} \text{ jaar} \end{array}$$

Baryongetal $B = 1$
voor p en n

quarks $B = 1/3$
antiquarks $B = -1/3$

	n	\rightarrow	p	$+$	e^-	$+$	$\bar{\nu}_e$
Q	:	0	=	1	-	1	+ 0
B	:	1	=	1	+	0	+ 0
L_e	:	0	=	0	+	1	- 1

Leptonen, mesonen
hebben $B = 0$

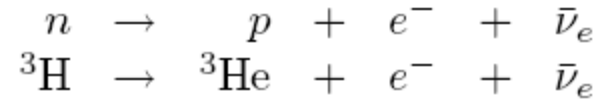


Behoud van leptongetal

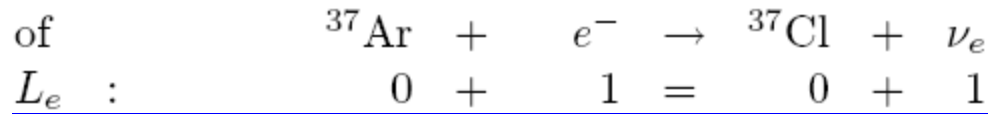
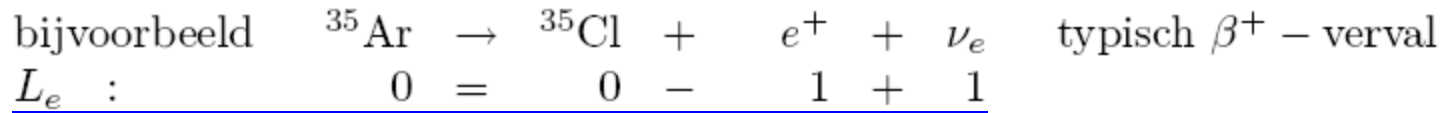
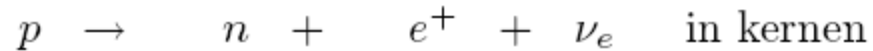
Observatie: verval treedt in paren op:
 e^+e^- , $\mu^+\mu^-$, $\tau^+\tau^-$

Voer leptongetallen in

L_e, L_μ, L_τ



$$\underline{L_e : \quad 0 = 0 + 1 - 1.}$$



spin neutrino: 1/2

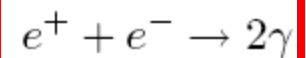
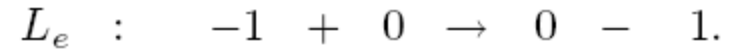
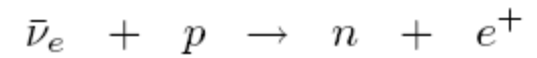
Verschil tussen neutrino's en antineutrino's?



Cowan en Reines: detectie neutrino

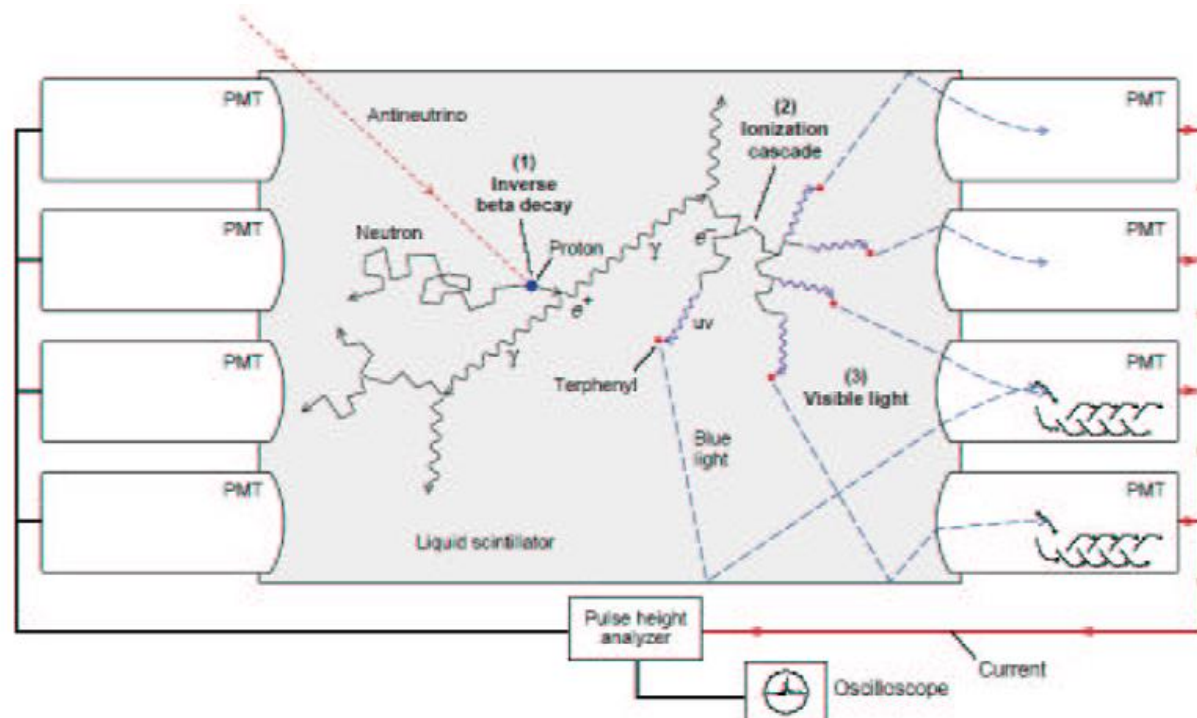
Basisidee van experiment

- Gebruik antineutrino's
- Kernreactor als bron (700 MW)
- Detector: 200 liter water + CdCl₂
- Vloeistofscintillatoren (3 - 1400 liter elk)



Resultaat:

$$\langle \sigma \rangle = (12^{+7}_{-4}) \times 10^{-44} \text{ cm}^2$$

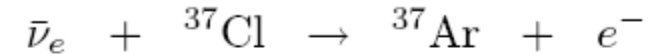


Davis: detectie neutrino

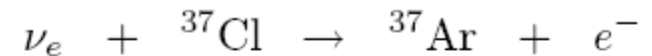
Bij dezelfde reactor gemeten:
reactie verloopt niet!

Neutrino's van de zon
induceren de reactie:

Neutrino's en antineutrino's
zijn verschillende deeltjes



$$\underline{L_e : \quad -1 + \quad 0 \rightarrow \quad 0 + \quad 1!}$$



$$\underline{L_e : \quad 1 + \quad 0 \rightarrow \quad 0 + \quad 1!}$$

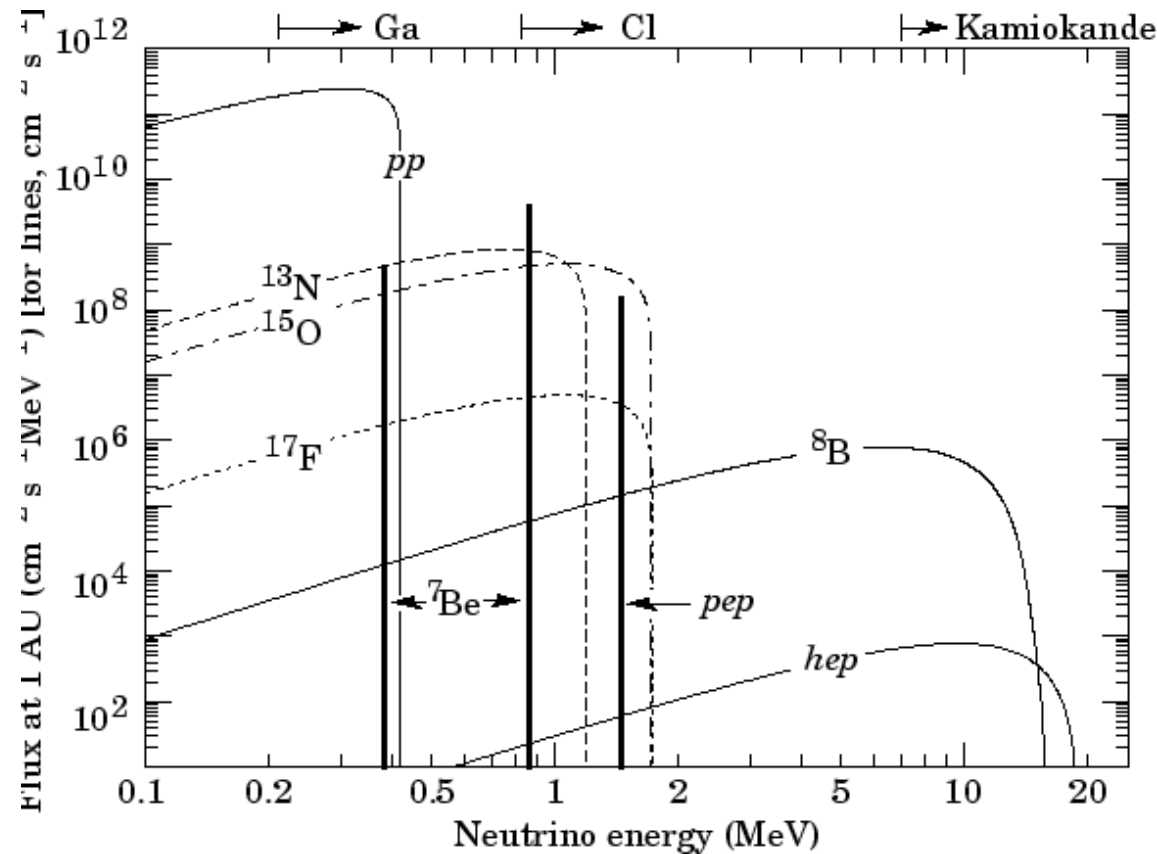
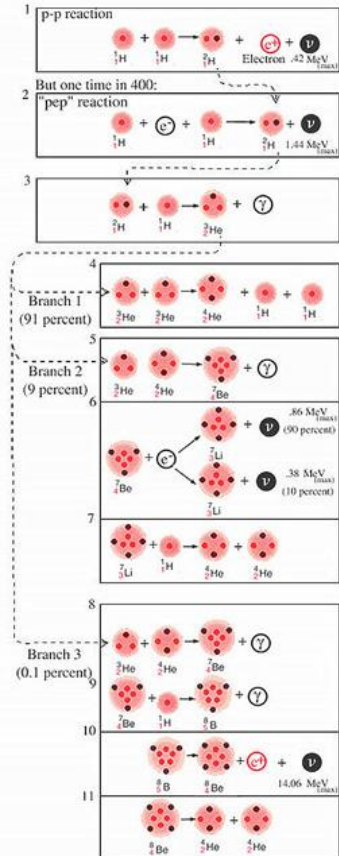
Echter: flux factor 2 – 3 te laag!
Opgelost: neutrino oscillaties!
Neutrino's hebben massa!!!



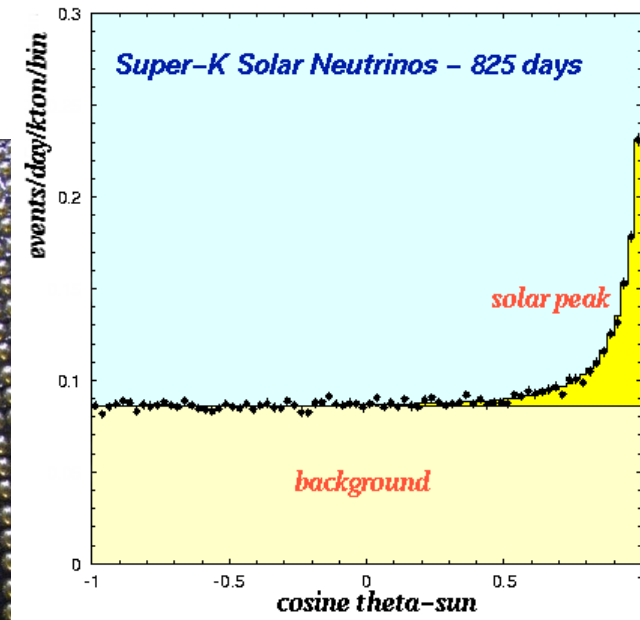
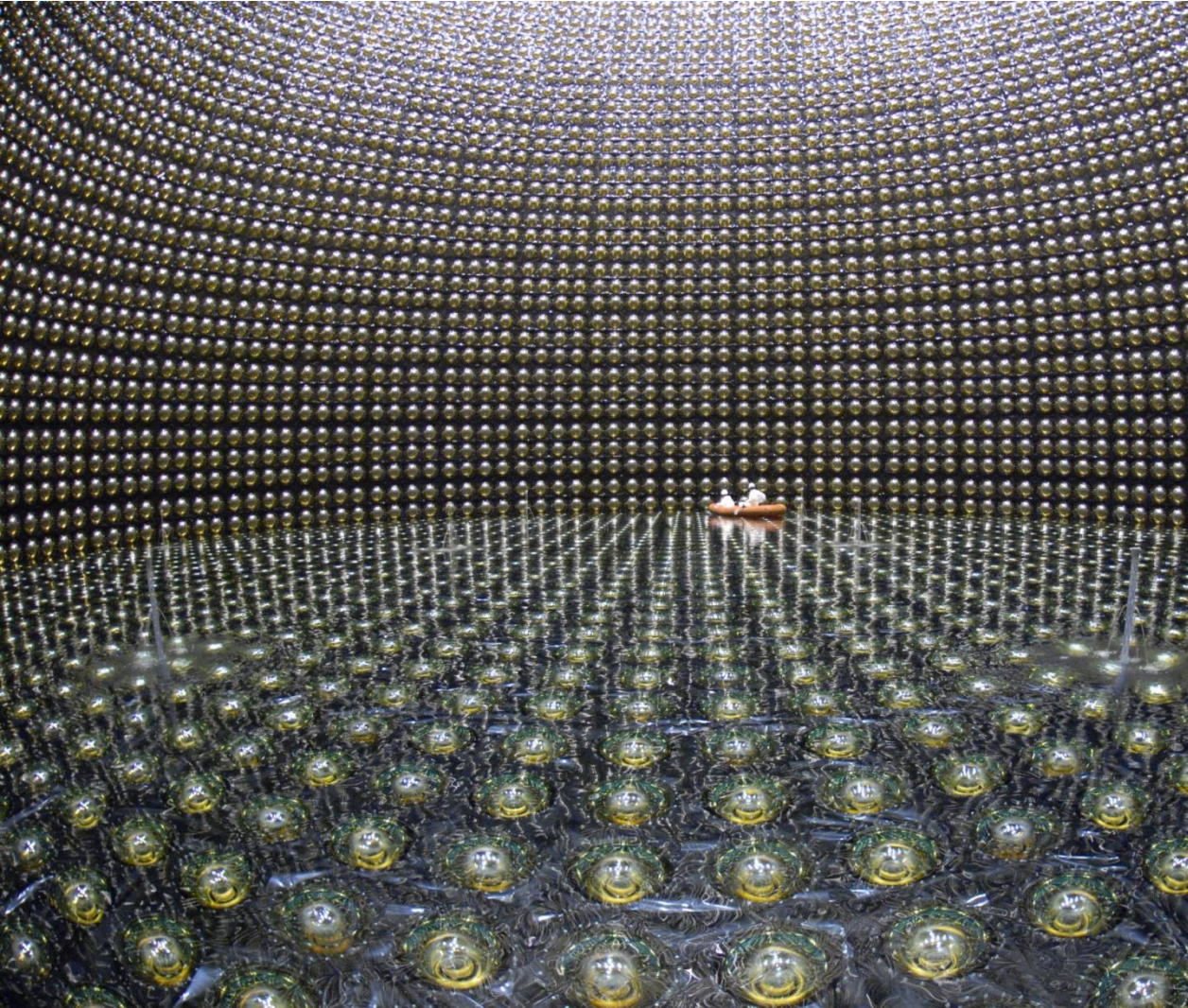
Neutrino's van de zon

Specifiek energiespectrum van neutrino's
Drempelenergie verschilt per detectiemedium

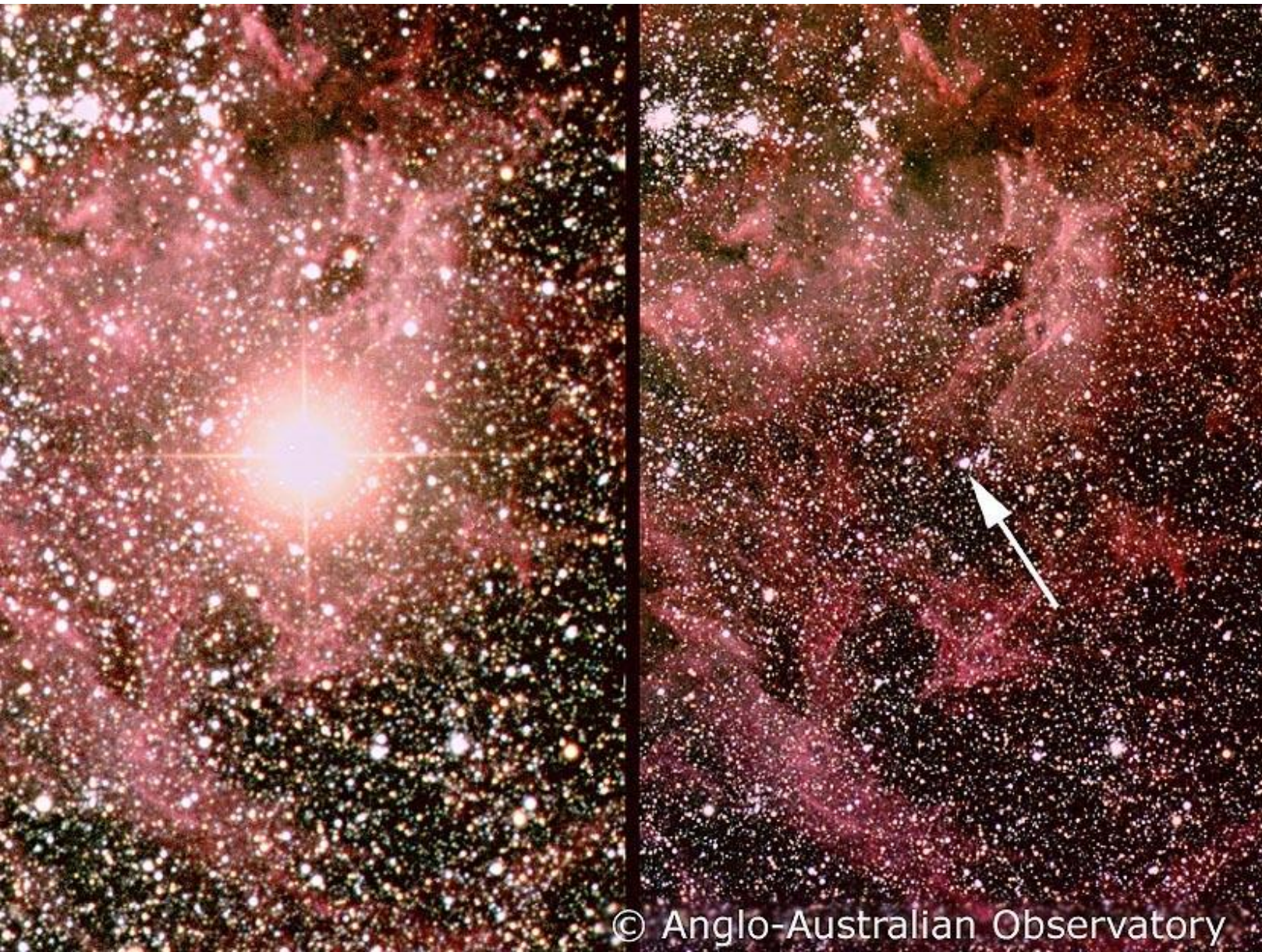
Eerste experimenten gebruikten $\text{Cl}(\nu_e, e^-)\text{Ar}$
Ray Davis, Homestake, South Dakota



Superkamiokande



SN1987A

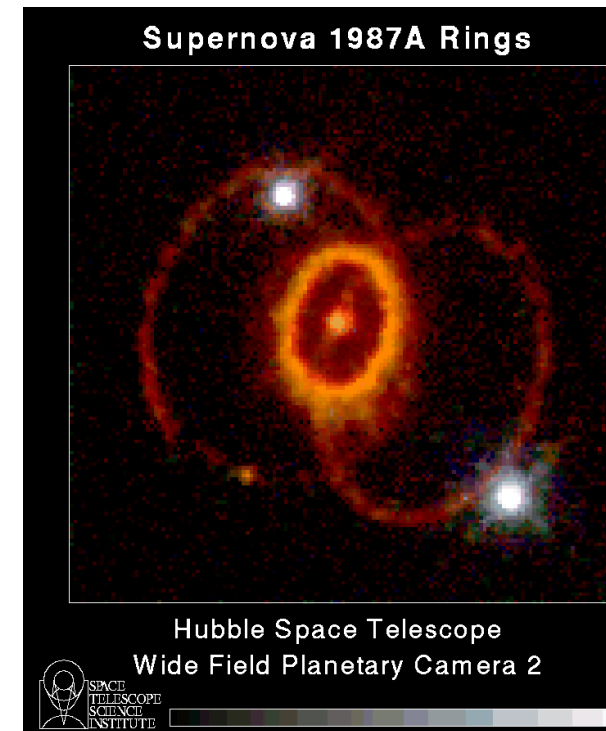
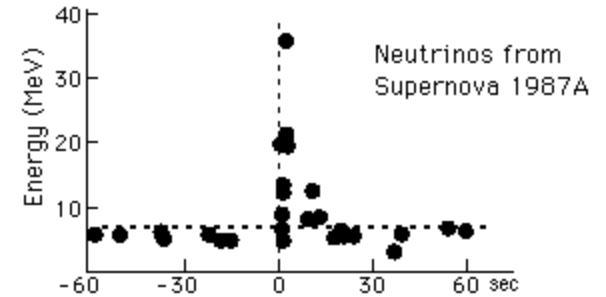


Superkamiokande

Detection of neutrino's from SN1987A

Spectrum in agreement with supernova models

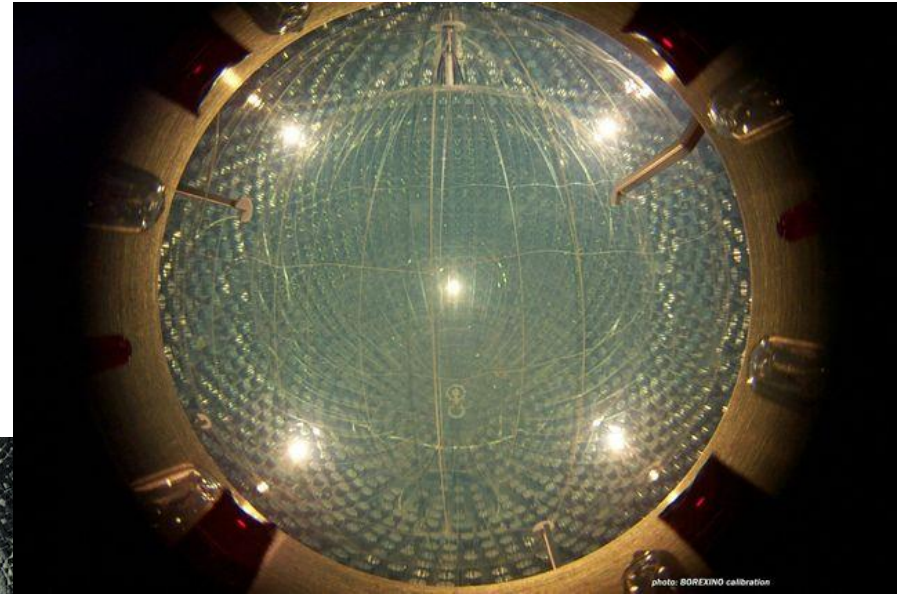
Limit on mass of neutrino



Borexino in Gran Sasso

Detect low energy (< 1 MeV) neutrino's
from decay of ${}^7\text{Be}$

Check MSW effect: neutrino oscillations are
affected by matter due to the presence of
electrons



OPERA in Gran Sasso

Fire muon neutrino's from SPS at CERN to OPERA in Gran Sasso

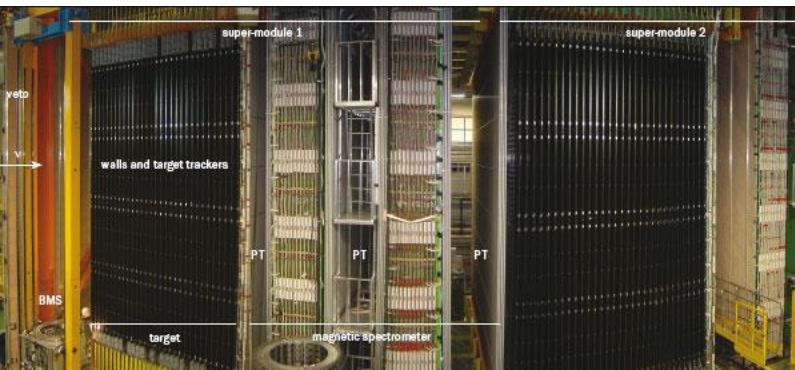
Detect appearance of tau neutrino's

- May 31, 2010
- June 6, 2012
- March 26, 2013

Emulsion in lead sheets and scintillator trigger planes

Neutrino's travel faster than speed of light

- Fiber optic cable problem
- Incorrect clock
- Claim withdrawn in July 2012

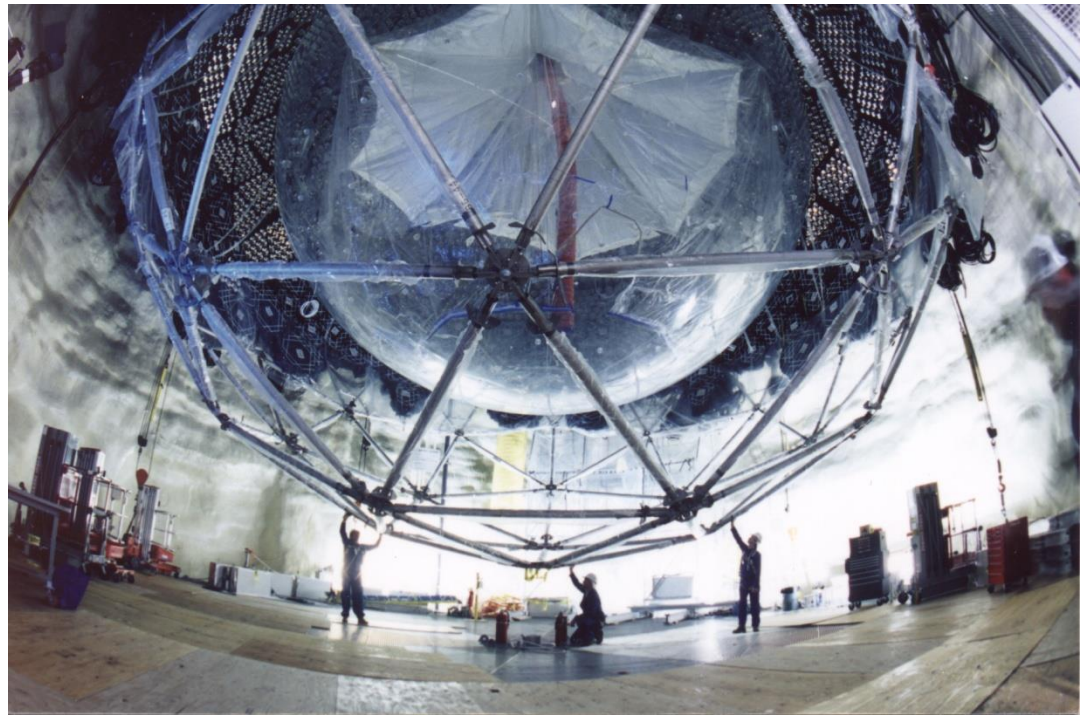
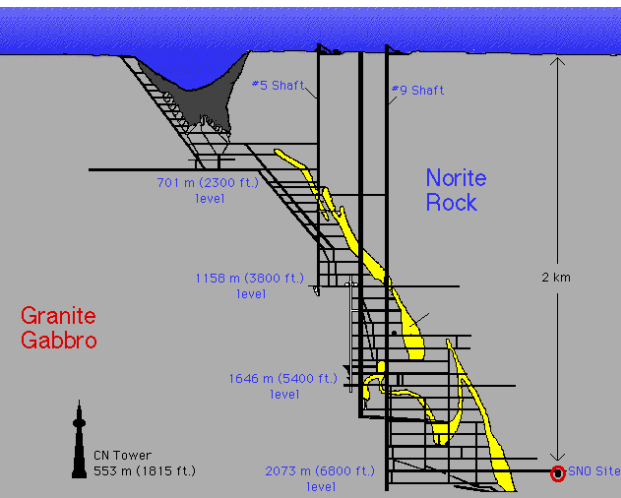
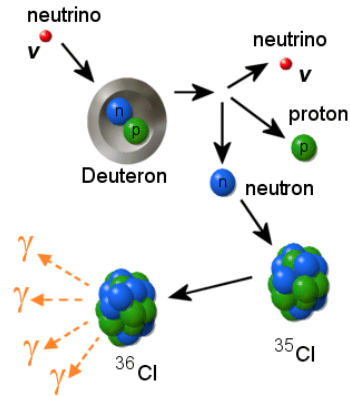
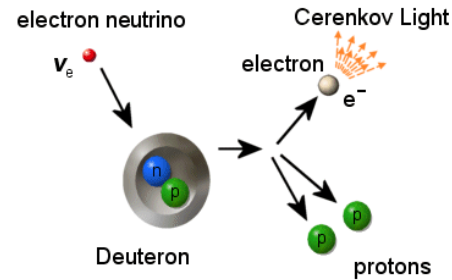


Sudbury Neutrino Observatory

Heavy water – 1000 tons

Electron-neutrino converts neutron into proton and electron.
Cherenkov radiation from electron is detected

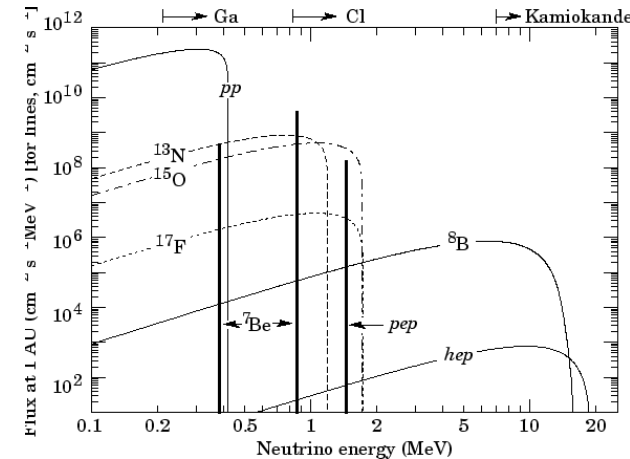
All neutrino species can break-up the deuterium nucleus. The neutron is captured forming tritium and a 6 MeV gamma



Solar neutrino problem

Early (Cl) experiments (1968) showed that the sun did not produce enough neutrino's (by about a factor 3). SNU units are used...

Kamiokande (water; designed for proton decay) sees relatively more neutrino's than the Cl detectors. Problems with expected energy distribution?



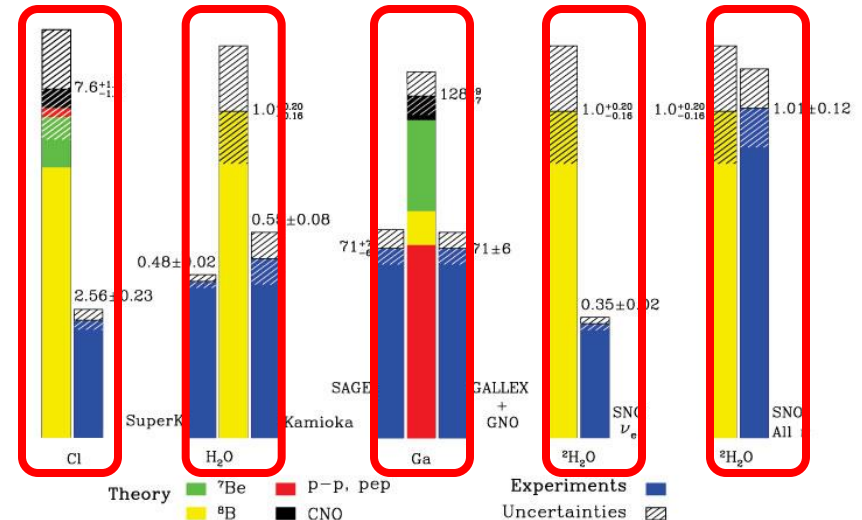
Gallium data accounted for by pep and hep

SNO electron neutrino's account for one third of events

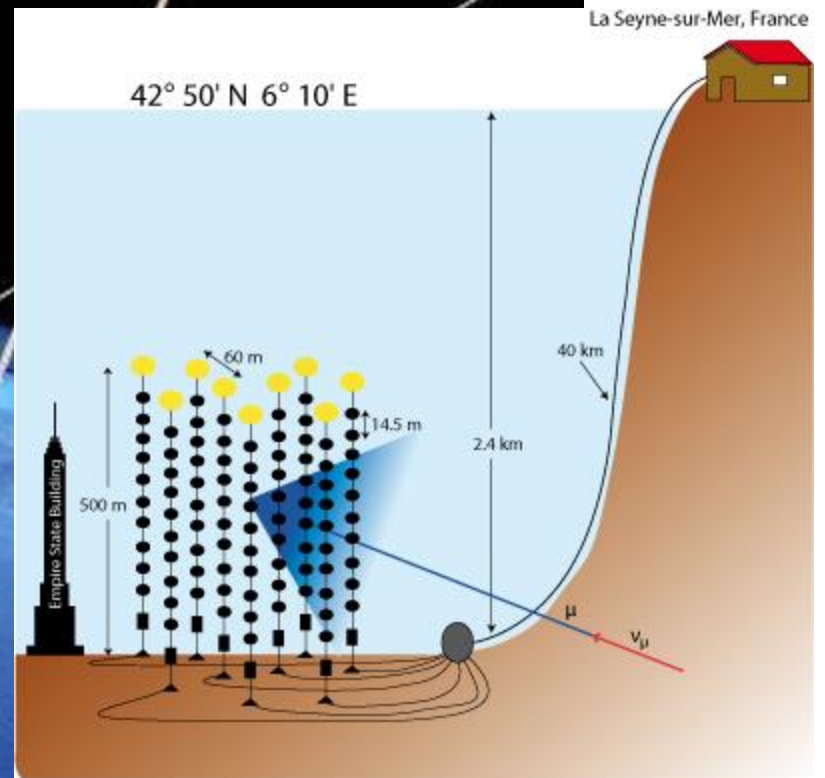
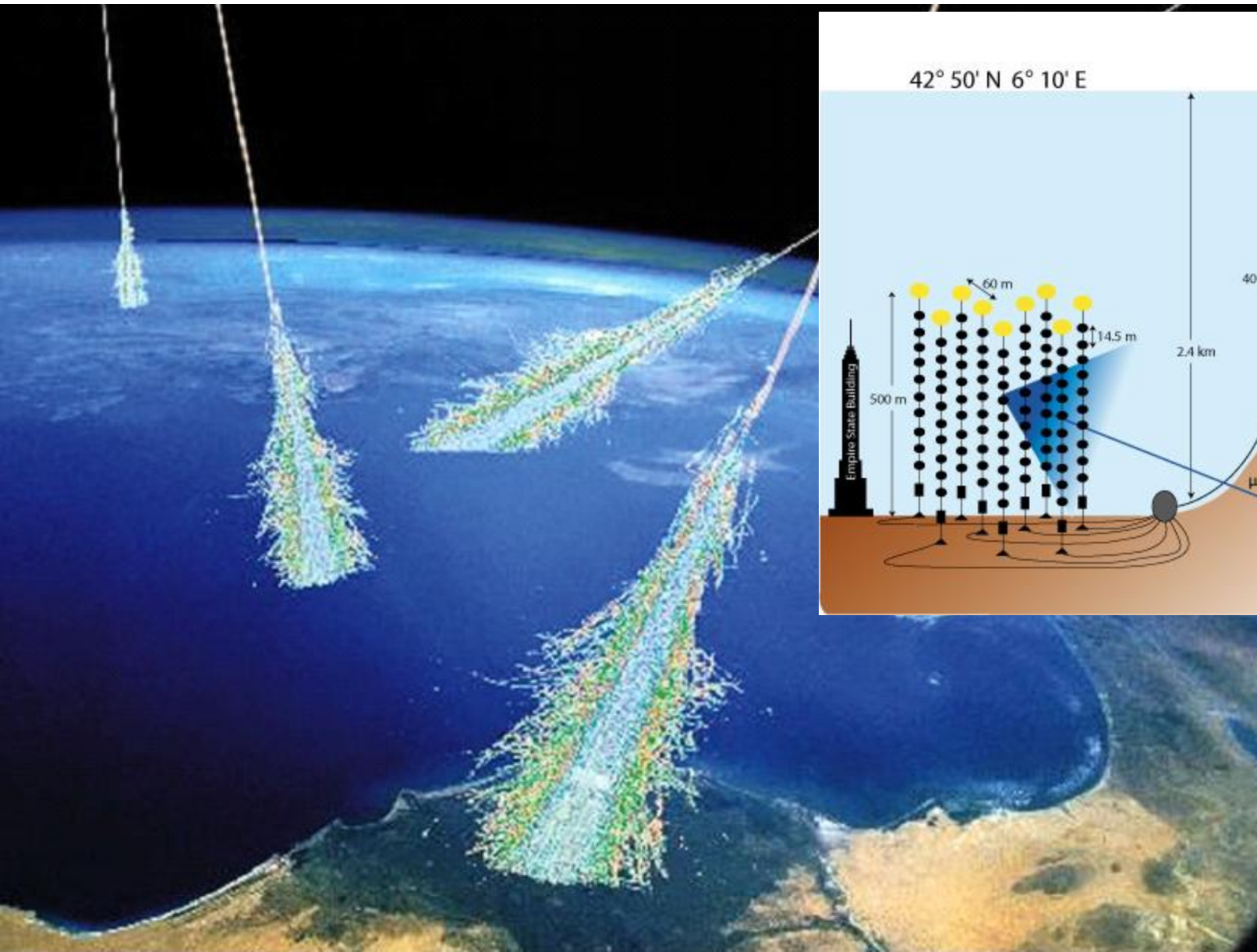
SNO is sensitive to all neutrino flavors (through NC interactions) and with all neutrino's in agreement with solar model

Neutrino's oscillate! (thus have mass)

Total Rates: Standard Model vs. Experiment
Bahcall-Pinsonneault 2000

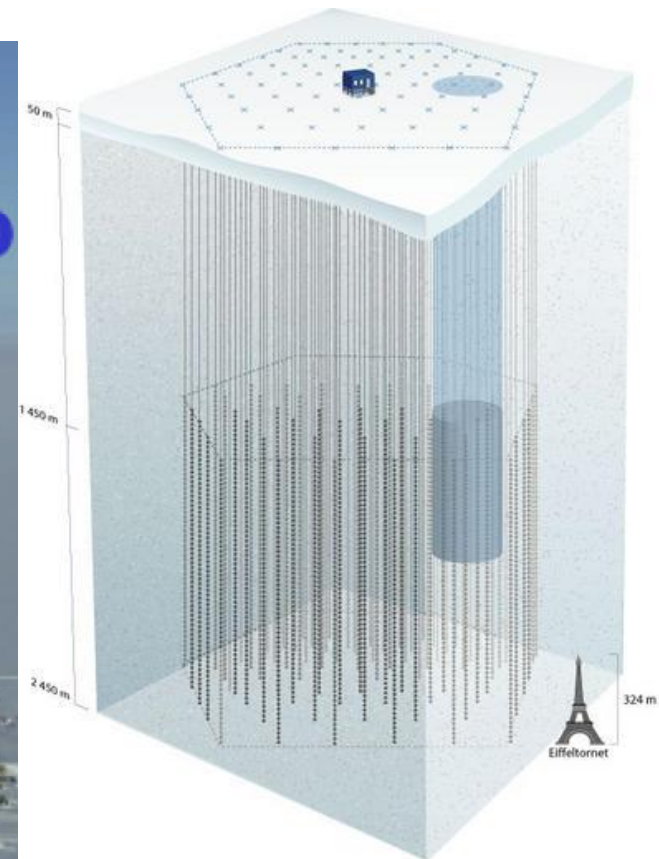
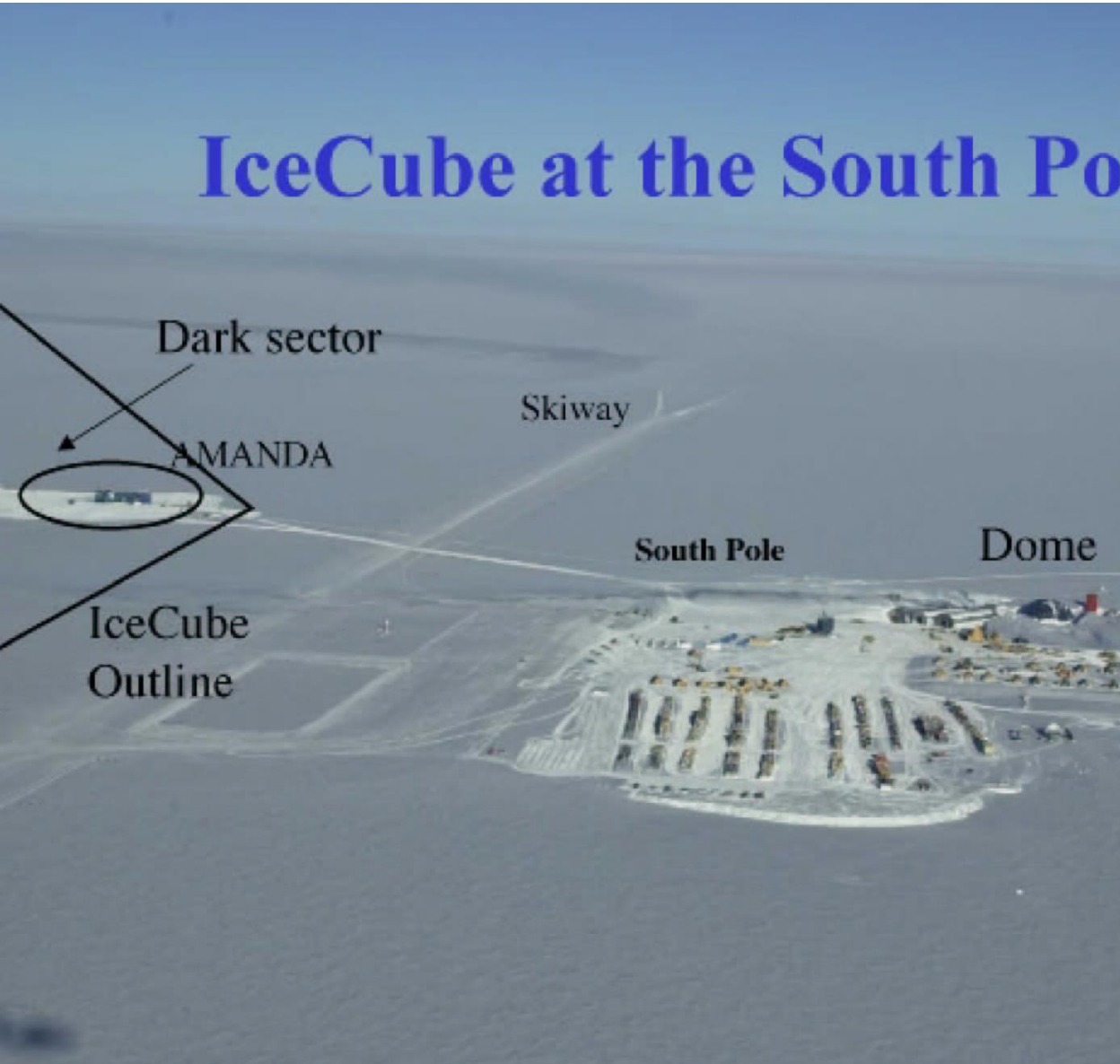


Kosmische neutrino's – Antares en KM3NET



Kosmische neutrino's – Amanda en Icecube

IceCube at the South Pole



Zware neutrino's

Pion verval

$$\begin{aligned} \pi^+ &\rightarrow \mu^+ + \nu_\mu & \text{B.R.} &= 0.999878 \\ \pi^+ &\rightarrow e^+ + \nu_e & \text{B.R.} &= 1.2 \times 10^{-4} \end{aligned}$$

Antideeltjes hebben dezelfde levensduur en B.R.

$$\begin{aligned} \pi^- &\rightarrow \mu^- + \bar{\nu}_\mu \\ \pi^- &\rightarrow e^- + \bar{\nu}_e. \end{aligned}$$

Reacties

	ν_e	+	n	\rightarrow	p	+	e^-	
L_e	1	+	0	=	0	+	1	<u>treedt op</u>
L_μ	0	+	0	=	0	+	0	
	ν_μ	+	n	\rightarrow	p	+	e^-	
L_e	0	+	0	\neq	0	+	1	treedt niet op
L_μ	1	+	0	\neq	0	+	0	
	ν_μ	+	n	\rightarrow	p	+	μ^-	
L_e	0	+	0	=	0	+	0	<u>treedt op</u>
L_μ	1	+	0	=	0	+	1	

B.R. $< 10^{-12}$

$$\mu^- \rightarrow e^- + e^+ + e^-$$

$$\begin{aligned} \mu^- + {}^{32}\text{S} &\rightarrow e^- + {}^{32}\text{S}, & \sigma/\sigma_{\nu, \text{capture}} &< 7 \times 10^{-11} \\ \mu^- + {}^{32}\text{S} &\rightarrow e^+ + {}^{32}\text{Si}, & \sigma/\sigma_{\nu, \text{capture}} &< 9 \times 10^{-10} \end{aligned}$$

treedt niet op

Spiegeling in de ruimte en pariteit

Unitaire pariteitsoperatie

$$\begin{aligned}\vec{r}' &= \mathcal{P} \vec{r} \mathcal{P}^{-1} = -\vec{r} & \vec{L}' &= (-\vec{r} \times (-\vec{p})) = \vec{L} \\ \vec{p}' &= \mathcal{P} \vec{p} \mathcal{P}^{-1} = -\vec{p} & \vec{s}' &= \vec{s}.\end{aligned}$$

Andere quantumgetallen, Q, B, \dots blijven gelijk

Indien spiegelinvariant

$$[\mathbf{H}, \mathcal{P}] = 0 \quad \longrightarrow \quad \begin{aligned}\mathbf{H}\psi &= E\psi \\ \mathcal{P}\psi &= \pi\psi. \\ \pi &= \pm 1\end{aligned}$$

Gezamenlijke
eigentoestanden

Vb. waterstofatoom
potentiaal sferisch
symmetrisch

$$\mathbf{H}(\vec{r}) = \mathbf{H}(-\vec{r}) = \mathbf{H}(r) \quad \longrightarrow \quad [\mathbf{H}, \mathcal{P}] = 0$$

$$\psi(r, \vartheta, \varphi) = \chi(r)Y_l^m(\vartheta, \varphi)$$

Pariteit golffuncties

$$(-1)^l$$

niet-ontaarde systemen

Pariteitschending in β -verval

C.S. Wu *et al.* (1957)



Gepolariseerde kern – ^{60}Co

$$J^\pi = 5^+ \longrightarrow J^\pi = 4^+$$

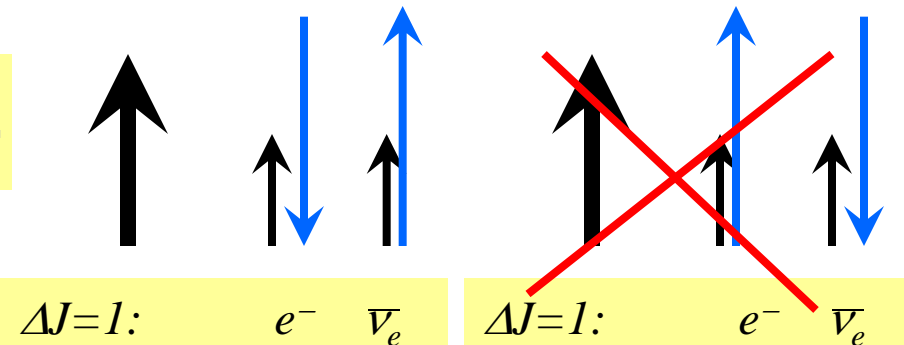
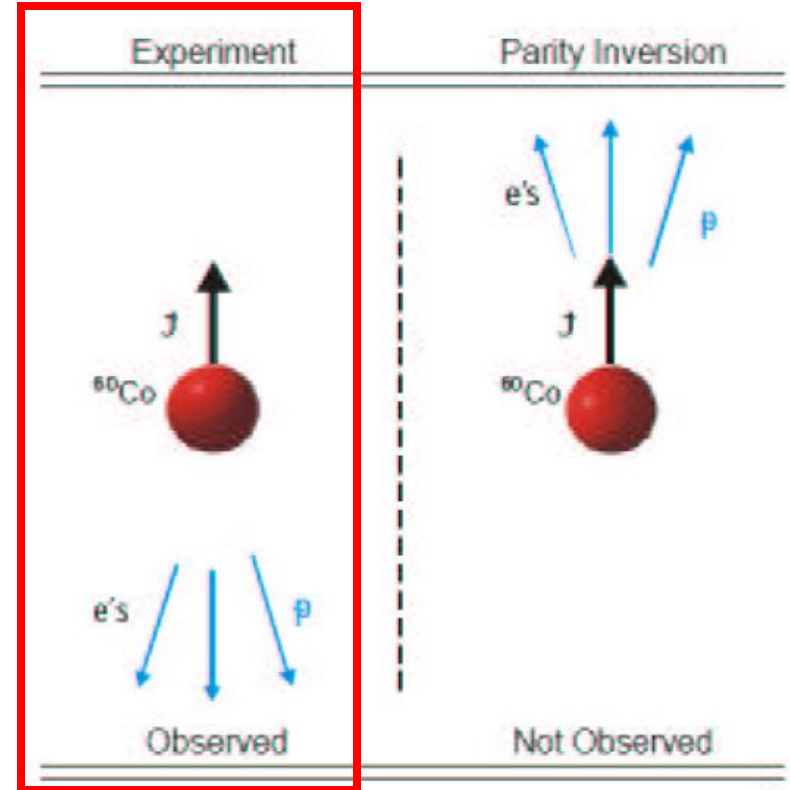
$$E(M) = E_0 - g\mu_N B M$$

$$\frac{n(M')}{n(M)} = \frac{e^{-E(M')/kT}}{e^{-E(M)/kT}} = e^{\frac{(M'-M)g\mu_N B}{kT}}$$

Detecteer \mathbf{p}_e

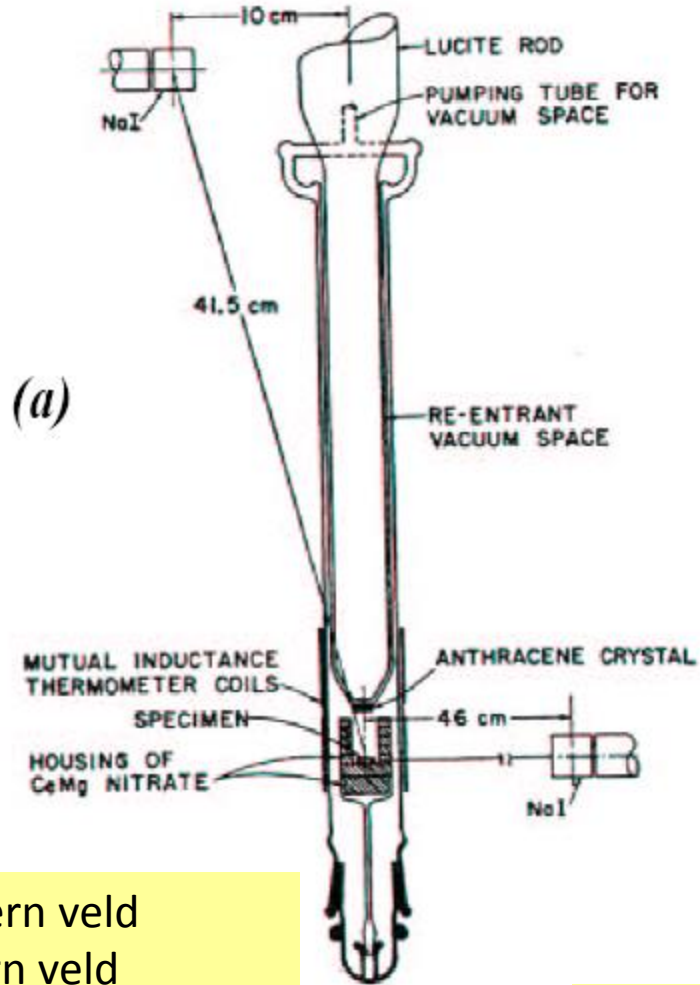


Pseudoscalaire grootheid $\langle \mathbf{p}_e \cdot \mathbf{J} \rangle$

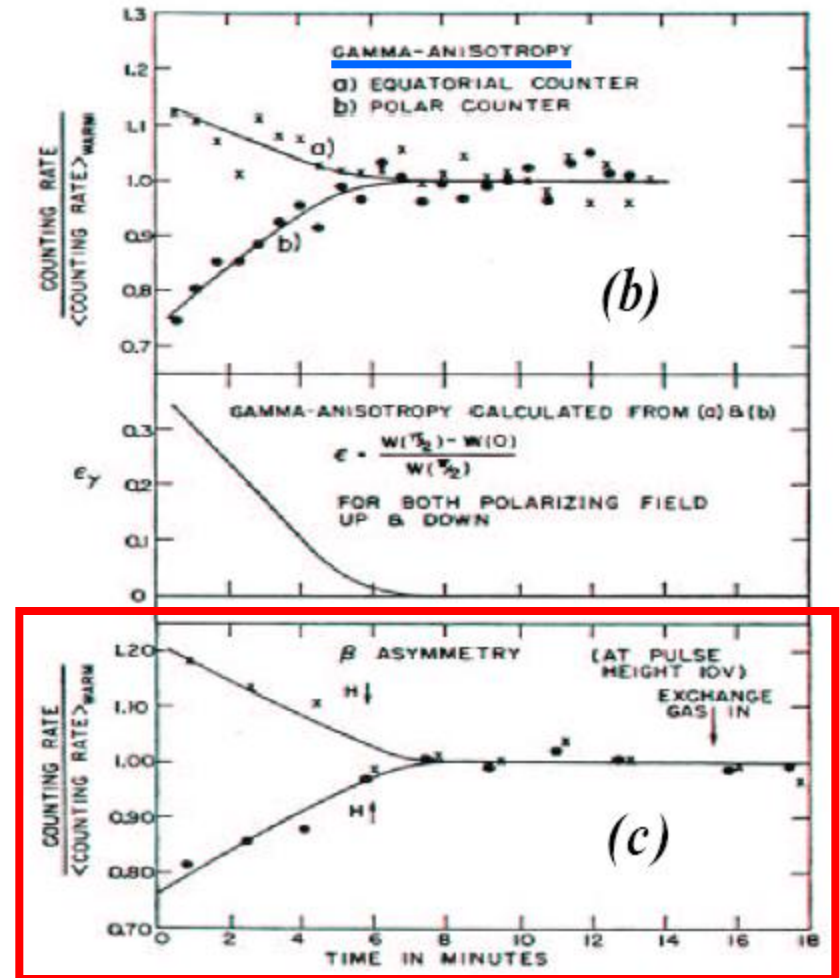


Pariteitschending in β -verval

C.S. Wu *et al.*



0.05 T extern veld
100 T intern veld



Adiabatische demagnetisatie: 10 mK

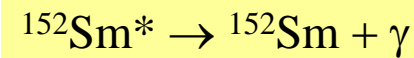
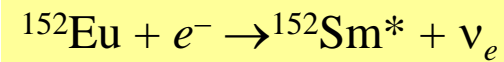
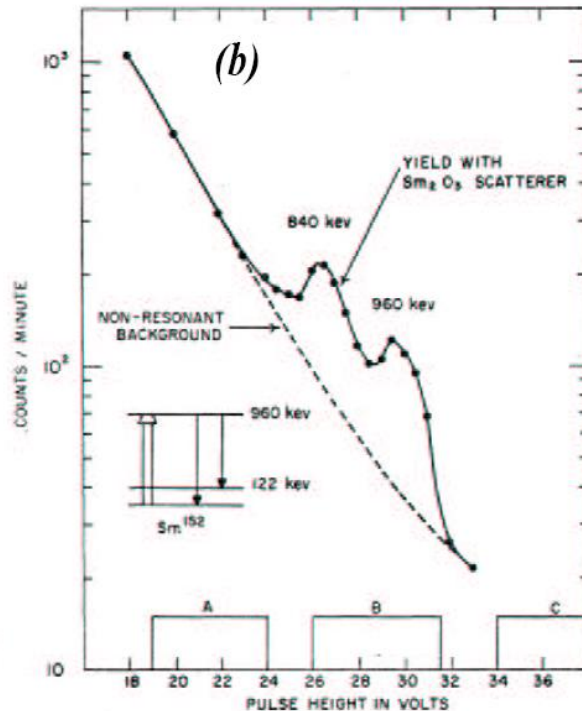
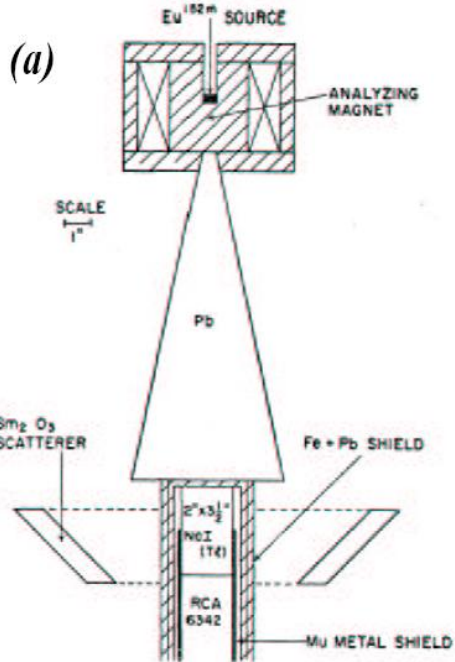
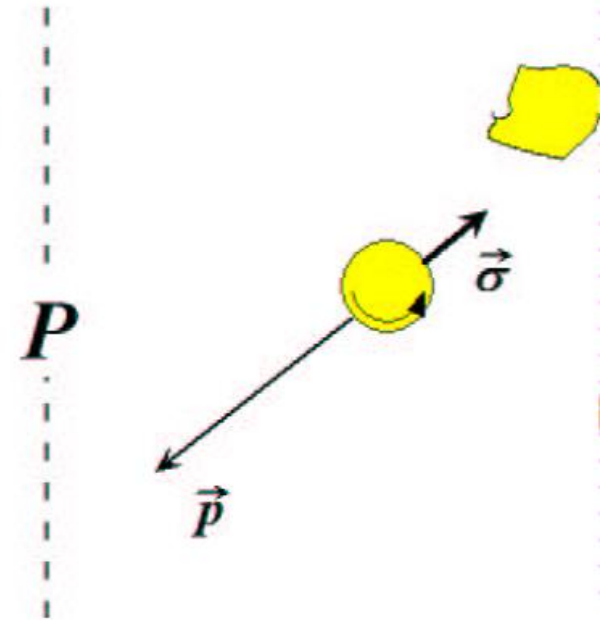
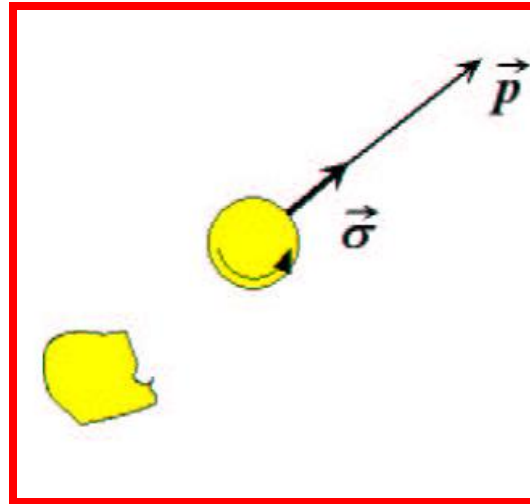
Heliciteit van leptonen

C.S. Wu $A = \langle \mathbf{p}_e \cdot \mathbf{J} \rangle$

Goldhaber, Grodzins en Sunyar

$h = \langle \mathbf{p}_e \cdot \boldsymbol{\sigma} \rangle$

1958: heliciteit neutrino



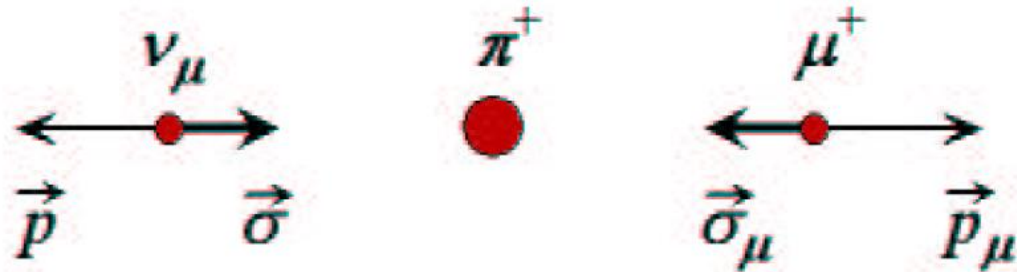
Resultaat:

$$\langle h_{\nu_e} \rangle = -1.0 \pm 0.3$$

Pionverval: heliciteitsonderdrukking

Waarneming:

$$\begin{aligned} \pi^+ &\rightarrow \mu^+ + \nu_\mu, & \text{B.R.} &= 0.999878 \\ \pi^+ &\rightarrow e^+ + \nu_e, & \text{B.R.} &= 1.2 \times 10^{-4} \end{aligned}$$



Incorrect:

$$\frac{\lambda_e}{\lambda_\mu} = \frac{1 + (m_e/m_\pi)^2}{1 + (m_\mu/m_\pi)^2} \frac{1 - (m_e/m_\pi)^2}{1 - (m_\mu/m_\pi)^2} \simeq 3.5$$

Correctiefactor:

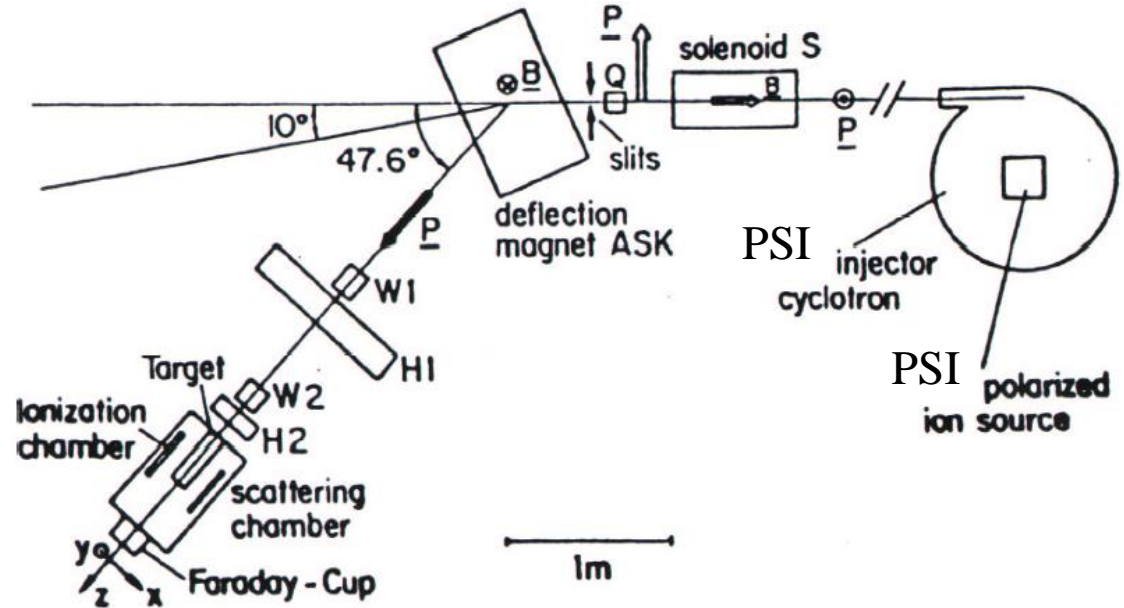
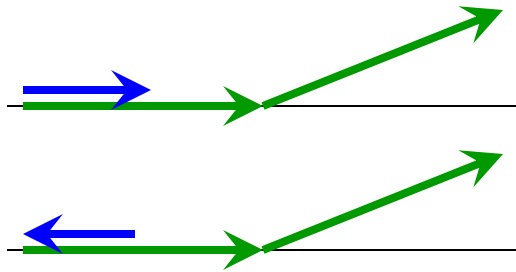
$$f = \frac{1 - v_e/c}{1 - v_\mu/c} = \frac{m_e^2}{m_\mu^2} \frac{1 + (m_\mu/m_\pi)^2}{1 + (m_e/m_\pi)^2} = 3.7 \times 10^{-5}$$

Conclusie:

- alle neutrino's (ν_e , maar ook ν_μ en ν_τ) hebben een heliciteit -1 , en alle antineutrino's ($\bar{\nu}_e$, $\bar{\nu}_\mu$, $\bar{\nu}_\tau$) hebben een heliciteit $+1$.
- De in β -verval uitgezonden geladen leptonen (e^-) hebben een heliciteit $-v/c$, terwijl de antideeltjes (e^+) een heliciteit $+v/c$ hebben.

Sterke wisselwerking: behoud van pariteit

pp verstrooiing
 $T_p = 50$ MeV
 Longitudinale p
 polarisatie



Resultaat:

$$\frac{\sigma^+ - \sigma^-}{\sigma^+ + \sigma^-} = (-1.5 \pm 0.2) \times 10^{-7}$$

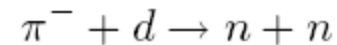


Intrinsieke pariteit (eigenpariteit)

We kennen intrinsieke pariteit toe aan deeltjes,
 $P_N = +1$

Gebruik behoud van pariteit in sterke
wisselwerking om P_π te bepalen

Reactie:



Neem aan:

$$J_\pi = 0, \quad J_d = 1, \quad J_n = \frac{1}{2}$$
$$\mathcal{P}_d = +1$$

Selecteer
pionvangst

$$l_{\pi d} = 0 \quad \Rightarrow \quad |\vec{J}_{\text{tot}}| = |\vec{l}_{\pi d} + \vec{J}_\pi + \vec{J}_d| = 1 = |\vec{l}_{nn} + \vec{J}_n + \vec{J}_n|$$
$$\mathcal{P}_{\text{tot}} = \mathcal{P}_\pi \cdot \mathcal{P}_d \cdot (-1)^{l_{\pi d}} = \mathcal{P}_\pi = (\mathcal{P}_n)^2 (-1)^{l_{nn}}$$

golffunctie van de beide neutronen antisymmetrisch

$$\Rightarrow \quad {}^3P_1\text{-toestand met } l_{nn} = 1$$
$${}^{2S+1}L_J$$

$$P_\pi = -1$$

